

Расчетная модель гидродинамической смазки неоднородного пористого подшипника конечной длины, работающего в устойчивом нестационарном режиме трения при наличии принудительной подачи смазки

М.А. Мукутадзе, Б.М. Флек, Н.С. Задорожная, Е.В. Поляков, А.М. Мукутадзе

Задача об устойчивости работы однослойных и двухслойных пористых подшипников конечной длины рассматривались в работах [1-7]. Существенным недостатком указанных работ является то, что в них проницаемость пористых слоев считается постоянной и, кроме того, не учитывается источник подачи смазки (рис. 1). В рассматриваемом случае трудно обеспечить жидкостный режим трения, так как подшипник работает за счет запаса смазки лишь в порах пористого слоя.

В настоящей работе нами, с учетом анизотропии проницаемости пористого слоя и наличия принудительной подачи смазки, приводится расчетная модель неоднородного пористого подшипника конечной длины, работающего в устойчивом нестационарном режиме трения. Здесь вначале рассматривается случай, когда смазка принудительно подается в направлении оси Oy , а затем в осевом направлении. Проницаемость задается в виде (1) (рис.1):

$$k' = Ae^{\lambda \frac{y}{H}}. \quad (1)$$

Здесь A – заданная постоянная величина; H – толщина пористого слоя; λ – безразмерный параметр, характеризующий распределение проницаемости в направлении оси Oy .

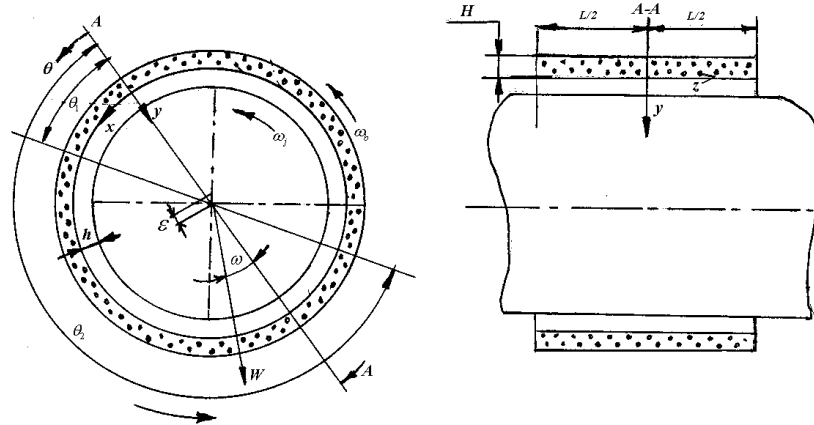


Рис. 1. Радиальный подшипник конечной длины с пористой обоймой

Гидродинамический расчет рассматриваемого подшипника нами будет производиться при следующих допущениях [1,2].

1. Толщина пористого слоя считается малой по сравнению с радиусом подшипника и в конечной модели используется короткий подшипник. Уравнение, определяющее течение смазки, в пористой матрице представляется в виде

$$\frac{\partial^2 p^*}{\partial y^2} + \frac{\partial^2 p^*}{\partial z^2} + \frac{\lambda}{H} \frac{\partial p^*}{\partial y} = 0, \quad (2)$$

где y, z – прямоугольные координаты (рис.1), p^* – гидродинамическое давление в пористом слое.

2. Для определения распределения давления в пленке смазки между шипом и подшипником будем исходить из модифицированного уравнения Рейнольдса в рамках модели короткого подшипника [1].

$$\frac{\partial}{\partial z} \left(h^3 \frac{\partial p}{\partial z} \right) = \varepsilon \mu \left(\left(\omega_b + \omega_j - 2\omega_L - 2 \frac{d\varphi}{dt} \right) \frac{dh}{d\theta} + 2 \frac{de}{dt} \cos \theta \right) - 12\mu v_0 \Big|_{y=0}, \quad (3)$$

где $h = C(1 + \varepsilon \cos \theta)$ – толщина пленки смазки, C – радиальный зазор, ε – относительный эксцентриситет, θ – угловая координата, p – давление в пленке смазки, μ – динамический коэффициент вязкости, $\omega_b, \omega_j, \omega_L$ – угловые скорости соответственно подшипника, шипа и нагрузки, φ – угол положения, t – время, v_0 – компонента скорости в направлении y на внутренней границе пористого слоя, прилегающая к зазору:

$$v_0 = -\frac{\kappa}{\mu} \left(\frac{\partial p^*}{\partial y} \right) \Big|_{y=0}, \quad (4)$$

где κ – проницаемость материала пористого слоя.

Система уравнений (2)-(3) в случае подачи смазки через поры пористого слоя в направлении оси Oy решается при граничных условиях (рис. 1)

$$\begin{aligned} p^* = p & \quad \text{при} \quad y = 0; & -\frac{\kappa}{\mu} \frac{\partial p^*}{\partial y} = V_g & \quad \text{при} \quad y = -H; \\ p^* = p = p_a & \quad \text{при} \quad z = -\frac{L}{2}; & p^* = p = p_a & \quad \text{при} \quad z = \frac{L}{2} \end{aligned} \quad (5)$$

где V_g – скорость подачи смазки, p_a – атмосферное давление.

В случае подачи смазки в осевом направлении граничные условия запишутся в следующем виде (рис.2, начало координат в этом случае выбрано в левом конце подшипника)

$$\begin{aligned} p^* = p & \quad \text{при} \quad y = 0; & \frac{\partial p^*}{\partial y} = 0 & \quad \text{при} \quad y = -H; \\ p^* = p = p_H & \quad \text{при} \quad z = 0; & p^* = p = p_K & \quad \text{при} \quad z = L. \end{aligned} \quad (6)$$

Здесь p_H – давление в начальном сечении; p_K – в конечном сечении.

Переход к безразмерным переменным.

В дальнейшем предполагается, что $\omega_b = 0$; $\omega_L = 0$.

Перейдем к безразмерным величинам по формулам [1]:

$$P^* = \frac{p^* C^2}{\mu R_0^2 \omega_j}, P = \frac{p C^2}{\mu R_0^2 \omega_j}, Z = \frac{2z}{L}, Y = \frac{y}{H}; \varepsilon = \frac{\dot{e}}{C}, T = \omega_j t; \Phi = \frac{kH}{C^3}. \quad (7)$$

Тогда уравнения (2) и (3) принимают следующий вид:

$$\frac{\partial^2 P^*}{\partial Y^2} + 4 \left(\frac{H}{L} \right)^2 \frac{\partial^2 P^*}{\partial Z^2} + \lambda \frac{\partial P^*}{\partial Y} = 0; \quad (8)$$

$$\frac{\partial^2 P^*}{\partial Z^2} = \frac{12(L/D)^2}{(1 + \varepsilon \cos \theta)^3} \left[\varepsilon \left(\dot{\phi} - \frac{1}{2} \right) \sin \theta + \dot{\varepsilon} \cos \theta \right] + \frac{3\Phi}{(1 + \varepsilon \cos \theta)^3} \left(\frac{H}{L} \right)^2 \left(\frac{\partial P^*}{\partial Y} \right) \Big|_{Y=0}, \quad (9)$$

где $D = 2R$; точкой обозначено дифференцирование по T .

Граничные условия (5) и (6), соответственно, примут следующий вид

$$P^* = P \quad \text{при} \quad Y = 0; \quad \frac{\partial P^*}{\partial Y} = -V_g \alpha \quad \text{при} \quad Y = -1;$$

$$P^* = P = \tilde{P}_a \quad \text{при} \quad Z = -1; \quad P^* = P = \tilde{P}_a \quad \text{при} \quad Z = 1; \quad (10)$$

$$P^* = P \quad \text{при} \quad Y = 0; \quad \frac{\partial P^*}{\partial Y} = 0 \quad \text{при} \quad Y = -1;$$

$$P^* = P = \tilde{P}_H \quad \text{при} \quad Z = 0; \quad P^* = P = \tilde{P}_K \quad \text{при} \quad Z = 1, \quad (11)$$

$$\text{где } \alpha = \frac{HC^2}{\kappa R^2 \omega_j}, \quad \tilde{P}_a = \frac{p_a C^2}{\mu R^2 \omega_j}, \quad \tilde{P}_H = \frac{p_H C^2}{\mu R^2 \omega_j}, \quad \tilde{P}_K = \frac{p_K C^2}{\mu R^2 \omega_j}.$$

Перейдем к решению системы (8)-(9) с граничными условиями (10).

Установим закон подачи смазки в виде

$$-V_g \alpha = C(Z). \quad (12)$$

Полагая толщину пористого слоя малой, уравнение (8) осредним по толщине смазочного слоя. Тогда уравнение (8) запишется в виде

$$\int_0^{-1} \left(\frac{\partial^2 P^*}{\partial Y^2} + 4 \left(\frac{H}{L} \right)^2 \frac{\partial^2 P^*}{\partial Z^2} + \lambda \frac{\partial P^*}{\partial Y} \right) dY = 0. \quad (13)$$

Решение уравнения (13), удовлетворяющее граничным условиям (10), будем искать в виде

$$P^* = A_1 Y^3 + A_2 Y^2 + A_3 Y + \tilde{P}_a + P_1(Z, 0). \quad (14)$$

Подставляя (14) в (13), приходим к следующему уравнению

$$3A_1 - 2A_2 - \lambda A_1 + \lambda A_2 - \lambda A_3 + 4 \left(\frac{H}{L} \right)^2 \left(\frac{A_1''}{4} - \frac{A_2''}{3} + \frac{A_3''}{2} - P_1'' \right) = 0. \quad (15)$$

Выполняя граничные условия (10), будем иметь:

$$A_3 = C(Z), \quad 3A_1 - 2A_2 = 0,$$

$$\frac{2}{3} \lambda A_2 - C(Z) + 4 \left(\frac{H}{L} \right)^2 \left(-\frac{A_2''}{6} + \frac{C''}{2} - P_1'' \right) = 0. \quad (16)$$

Решение уравнения (16) можно найти после определения функции P_1 , удовлетворяющей условию

$$\frac{\partial^2 P_1}{\partial Z^2} = \frac{12(L/D)^2}{(1 + \varepsilon \cos \theta)^3} \left[\varepsilon \left(\phi - \frac{1}{2} \right) \sin \theta + \varepsilon \cos \theta \right] + \frac{3\Phi C_2(Z)}{(1 + \varepsilon \cos \theta)^3 \left(\frac{H}{L} \right)^2}. \quad (17)$$

Уравнение решается при граничных условиях

$$P_1 = 0 \quad \text{при} \quad Z = \pm 1 \quad (18)$$

Полагая $C_2(Z) = A_0 \cos \frac{\pi Z}{2}$, с учетом граничных условий (18), для P_1

окончательно получим следующее выражение

$$P_1 = \frac{12(L/D)^2}{(1 + \varepsilon \cos \theta)^3} \left[\varepsilon \left(\dot{\varphi} - \frac{1}{2} \right) \sin \theta + \dot{\varepsilon} \cos \theta \right] \left[\frac{Z^2}{2} - \frac{1}{2} \right] - \frac{12A_0 \cos \frac{\pi Z}{2}}{(1 + \varepsilon \cos \theta)^3 \left(\frac{H}{L} \right)^2 \pi^2}. \quad (19)$$

С учетом (19), уравнение (16) решается при граничных условиях

$$A_2 = 0 \quad \text{при} \quad Z = \pm 1.$$

При определении основных рабочих характеристик явный вид функций A_1 и A_2 нам не понадобятся.

Перейдем к случаю осевой подачи смазки (рис. 2).

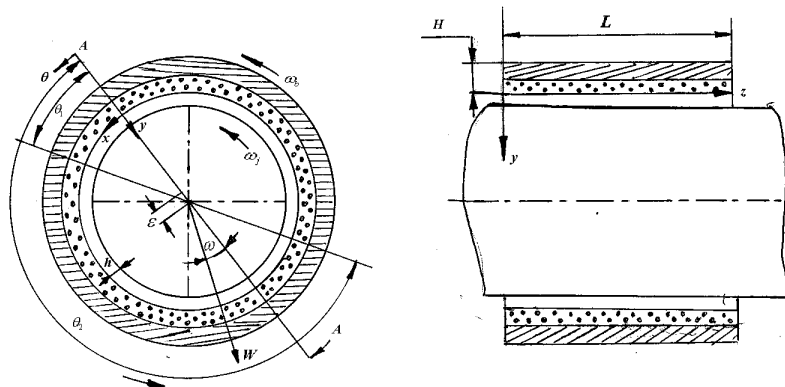


Рис. 2. Радиальный подшипник конечной длины с двухслойной пористой обоймой

Решение уравнений (9) и (13), удовлетворяющих граничным условиям (11), будем искать в виде

$$P = aZ + b + P_1(Z, 0), \quad P^* = A_1 Y^3 + A_2 Y^2 + A_3 Y + aZ + b + P_1. \quad (20)$$

С учетом граничных условий (11), для определения A_3 приходим к следующему уравнению

$$\frac{\lambda + 6}{12\lambda} A_3'' - P_1'' = 0. \quad (21)$$

Функции A_1 и A_2 выражаются через функцию A_3 в виде

$$A_1 = A_3 \left(1 + \frac{2}{\lambda}\right), \quad A_2 = A_3 \left(2 + \frac{3}{\lambda}\right). \quad (22)$$

Константы a и b определяются выражениями

$$a = \tilde{P}_K - \tilde{P}_H, \quad b = \tilde{P}_H. \quad (23)$$

Решая уравнение (21) с граничными условиями $A_3 = 0$, $P_1 = 0$ при $Z = 0$, $Z = 1$, для A_3 получим следующее выражение

$$A_3 = \frac{12\lambda}{\lambda + 6} P_1(Z, \theta) = \Delta_1 P_1(Z, \theta). \quad (24)$$

С учетом (24), для определения уравнения $P_1(Z, \theta)$ приходим к следующему уравнению

$$\frac{\partial^2 P_1}{\partial Z^2} = \frac{12(L/D)^2}{(1 + \varepsilon \cos \theta)^3} \left[\varepsilon \left(\phi - \frac{1}{2} \right) \sin \theta + \dot{\varepsilon} \cos \theta \right] + \frac{3\Phi \Delta_1 P_1}{(1 + \varepsilon \cos \theta)^3 (H/L)^2}. \quad (25)$$

Решая уравнение (25) с граничными условиями $P_1 = 0$ при $Z = 0$, $Z = 1$, для P_1 окончательно получим следующее выражение

$$P_1 = \frac{4(H/D)^2 \left[\left(\phi - \frac{1}{2} \right) \sin \theta + \dot{\varepsilon} \cos \theta \right]}{\Phi \Delta_1} \left[\frac{e^{-\sqrt{\Delta_2} Z}}{e^{\sqrt{\Delta_2}} + 1} + \frac{e^{\sqrt{\Delta_2} Z}}{e^{\sqrt{\Delta_2}} + 1} - 1 \right], \quad (26)$$

$$\text{где } \Delta_2 = \frac{3\Phi \Delta_1}{(1 + \varepsilon \cos \theta)^3 (H/L)^2}, \quad \Delta_1 = \frac{12\lambda}{\lambda + 6}.$$

Перейдем к определению усилий масляной пленки.

При неполном заполнении смазкой зазора область положительных давлений, ограниченная углами θ_1 и θ_2 , определяются из условий

$$\dot{\varepsilon} \cos \theta_1 + \varepsilon \dot{\phi} \sin \theta_1 = 0;$$

$$\dot{\varepsilon} \sin \theta_2 - \varepsilon \dot{\phi} \cos \theta_1 > 0, \quad \theta_2 = \theta_1 + \pi.$$

В случае подачи смазки в направлении перпендикулярной оси подшипника через поры пористого слоя с заданной скоростью, усилия масляной пленки вычисляются интегрированием по положительной области распределения давления, определяемые формулой

$$F^{(e)} = R \int_{-\frac{L}{2}}^{\frac{L}{2}} \int_{\theta_1}^{\theta_1+\pi} P \cos \theta d\theta dz = \frac{\mu R^3 \omega_j}{C^2} \int_{-1}^1 \int_{\theta_1}^{\theta_1+\pi} [\tilde{P}_a + P_1] \cos \theta d\theta dZ = \frac{\mu R^3 \omega_j}{C^2} \times$$

$$\times \int_{\theta_1}^{\theta_1+\pi} \left\{ 2\tilde{P}_a - \frac{8(L/D)^2}{(1 + \varepsilon \cos \theta)^3} \left[\varepsilon \left(\dot{\varphi} - \frac{1}{2} \right) \sin \theta + \dot{\varepsilon} \cos \theta \right] - \frac{48A_0}{(1 + \varepsilon \cos \theta)^3 \left(\frac{H}{L} \right)^2 \pi^3} \right\} \cos \theta d\theta; \quad (27)$$

$$F^{(\varphi)} = R \int_{-\frac{L}{2}}^{\frac{L}{2}} \int_{\theta_1}^{\theta_1+\pi} P \sin \theta d\theta dz = \frac{\mu R^3 \omega_j}{C^2} \int_{-1}^1 \int_{\theta_1}^{\theta_1+\pi} [\tilde{P}_a + P_1] \sin \theta d\theta dZ = \frac{\mu R^3 \omega_j}{C^2} \times$$

$$\times \int_{\theta_1}^{\theta_1+\pi} \left\{ 2\tilde{P}_a - \frac{8(L/D)^2}{(1 + \varepsilon \cos \theta)^3} \left[\varepsilon \left(\dot{\varphi} - \frac{1}{2} \right) \sin \theta + \dot{\varepsilon} \cos \theta \right] - \frac{48A_0}{(1 + \varepsilon \cos \theta)^3 \left(\frac{H}{L} \right)^2 \pi^3} \right\} \sin \theta d\theta; \quad (28)$$

В случае осевой модели смазки

$$F^{(e)} = R \int_0^L \int_{\theta_1}^{\theta_1+\pi} P \cos \theta d\theta dZ = \frac{\mu R^3 \omega_j}{C^2} \int_0^1 \int_{\theta_1}^{\theta_1+\pi} [(aZ + b) + P_1] \cos \theta d\theta dZ = \frac{\mu R^3 \omega_j}{C^2} \times$$

$$\times \int_{\theta_1}^{\theta_1+\pi} \left\{ \frac{a}{2} + b + \frac{4H^2 \left[\left(\dot{\varphi} - \frac{1}{2} \right) \sin \theta + \dot{\varepsilon} \cos \theta \right]}{D^2 \Phi \Delta_1} \left[\frac{2(e^{\sqrt{\Delta_2}} - 1)}{\sqrt{\Delta_2}(e^{\sqrt{\Delta_2}} + 1)} - 1 \right] \right\} \cos \theta d\theta \quad (29)$$

$$F^{(\varphi)} = R \int_0^L \int_{\theta_1}^{\theta_1+\pi} P \sin \theta d\theta dZ = \frac{\mu R^3 \omega_j}{C^2} \int_0^1 \int_{\theta_1}^{\theta_1+\pi} [(aZ + b) + P_1] \sin \theta d\theta dZ = \frac{\mu R^3 \omega_j}{C^2} \times$$

$$\times \int_{\theta_1}^{\theta_1+\pi} \left\{ \frac{a}{2} + b + \frac{4H^2 \left[\left(\dot{\varphi} - \frac{1}{2} \right) \sin \theta + \dot{\varepsilon} \cos \theta \right]}{D^2 \Phi \Delta_1} \left[\frac{2(e^{\sqrt{\Delta_2}} - 1)}{\sqrt{\Delta_2}(e^{\sqrt{\Delta_2}} + 1)} - 1 \right] \right\} \sin \theta d\theta \quad (30)$$

В случае полного заполнения смазкой зазора и подачи смазки в направлении оси Oy будем иметь

$$F^{(e)} = R \int_{-\frac{L}{2}}^{\frac{L}{2}} \int_0^{2\pi} P \cos \theta d\theta dZ = \frac{\mu R^3 \omega_j}{C^2} \int_{-1}^1 \int_0^{2\pi} (\tilde{P}_a + P_1) \cos \theta d\theta dZ =$$

$$= \frac{\mu R^3 \omega_j}{C^2} \int_0^{2\pi} \left\{ 2\tilde{P}_a - \frac{8(L/D)^2}{(1 + \varepsilon \cos \theta)^3} \left[\varepsilon \left(\dot{\varphi} - \frac{1}{2} \right) \sin \theta + \dot{\varepsilon} \cos \theta \right] - \frac{48}{(1 + \varepsilon \cos \theta)^3 \left(\frac{H}{L} \right)^2 \pi^3} \right\} \cos \theta d\theta \quad ;(31)$$

$$\begin{aligned}
F^{(\varphi)} &= R \int_{-\frac{L}{2}}^{\frac{L}{2}} \int_0^{2\pi} P \sin \theta d\theta dZ = \frac{\mu R^3 \omega_j}{C^2} \int_{-1}^1 \int_0^{2\pi} (\tilde{P}_a + P_1) \sin \theta d\theta dZ = \\
&= \frac{\mu R^3 \omega_j}{C^2} \int_0^{2\pi} \left\{ 2\tilde{P}_a - \frac{8(L/D)^2}{(1 + \varepsilon \cos \theta)^3} \left[\varepsilon \left(\dot{\varphi} - \frac{1}{2} \right) \sin \theta + \dot{\varepsilon} \cos \theta \right] - \frac{48A_0}{(1 + \varepsilon \cos \theta)^3 (H/L)^2 \pi^3} \right\} \sin \theta d\theta
\end{aligned} \quad (32)$$

Рассмотрим случай полного заполнения смазкой зазора и осевой подачи смазки. Используя формулу (26), будем иметь

$$\begin{aligned}
F^{(e)} &= R \int_0^L \int_0^{2\pi} P \cos \theta d\theta dZ = \frac{\mu R^3 \omega_j}{C^2} \int_0^L \int_0^{2\pi} [(aZ + b) + P_1] \cos \theta d\theta dZ = \frac{\mu R^3 \omega_j}{C^2} \times \\
&\times \int_0^{2\pi} \left\{ \frac{a}{2} + b + \frac{4H^2 \left[\left(\dot{\varphi} - \frac{1}{2} \right) \sin \theta + \dot{\varepsilon} \cos \theta \right]}{D^2 \Phi \Delta_1} \left[\frac{2(e^{\sqrt{\Delta_2}} - 1)}{\sqrt{\Delta_2}(e^{\sqrt{\Delta_2}} + 1)} - 1 \right] \right\} \cos \theta d\theta
\end{aligned} \quad (33)$$

$$\begin{aligned}
F^{(\varphi)} &= R \int_0^L \int_0^{2\pi} P \sin \theta d\theta dZ = \frac{\mu R^3 \omega_j}{C^2} \int_0^L \int_0^{2\pi} [(aZ + b) + P_1] \sin \theta d\theta dZ = \frac{\mu R^3 \omega_j}{C^2} \times \\
&\times \int_0^{2\pi} \left\{ \frac{a}{2} + b + \frac{4H^2 \left[\left(\dot{\varphi} - \frac{1}{2} \right) \sin \theta + \dot{\varepsilon} \cos \theta \right]}{D^2 \Phi \Delta_1} \left[\frac{2(e^{\sqrt{\Delta_2}} - 1)}{\sqrt{\Delta_2}(e^{\sqrt{\Delta_2}} + 1)} - 1 \right] \right\} \sin \theta d\theta
\end{aligned} \quad (34)$$

Решение задачи на устойчивость

Безразмерные уравнения, определяющие движение шипа, записываются в следующем виде

$$\begin{aligned}
\frac{d^2 \varepsilon}{dT^2} &= -\frac{F^e}{\omega_j M C} + \left(\frac{\omega_g}{\omega_j} \right)^2 \cos \varphi + \varepsilon \left(\frac{d\varphi}{dT} \right)^2, \\
\frac{d^2 \varphi}{dT^2} &= \frac{F^\varphi}{\omega_j M C} - \frac{1}{\varepsilon} \left(\frac{\omega_g}{\omega_j} \right)^2 \sin \varphi - \frac{2}{\varepsilon} \left(\frac{d\varepsilon}{dT} \right) \left(\frac{d\varphi}{dT} \right),
\end{aligned} \quad (35)$$

где M – масса ротора.

$F^{(e)}$ и $F^{(\varphi)}$ – усилия масляной пленки, в случае неполного заполнения смазкой зазора они определяются формулами (27), (28), когда смазка подается перпендикулярно оси подшипника, и формулами (29) и (30) в случае осевой подачи смазки. Для случая полного заполнения смазкой зазора эти усилия определяются, соответственно, формулами (31)-(34).

Уравнения (35), определяющие движение шипа, решаются численно с учетом полученных данных (27)-(34). Компоненты ускорения $\frac{d^2\varepsilon}{dT^2}$, $\frac{d^2\varphi}{dT^2}$ представляют собой явные функции параметров ε , φ , $\frac{d\varepsilon}{dT}$, $\frac{d\varphi}{dT}$, \tilde{V}_g , \tilde{P}_H , \tilde{P}_K , Φ , λ , θ_1 , α , \tilde{P}_a .

Уравнения (31) записываются в стандартной форме первого порядка и решаются с помощью метода, разработанного Гиром [7].

После получения решения уравнений движения, устойчивость рассматриваемого движения определяется визуально по графику. При заданных значениях выше указанных параметров, области устойчивости приведены на рис. 3-4. Здесь все точки, которые лежат ниже кривых устойчивости, соответствуют устойчивому движению шипа, а все точки, которые лежат выше кривых, соответствуют неустойчивому движению ($\omega_j = \sqrt{g/C}$), где g – ускорение силы тяжести.

Из зависимостей, приведенных на рис. 3 и 4, следует, что:

1. Пористый подшипник как при осевой подаче смазки, так и при подаче перпендикулярно оси, работает более устойчиво, чем пористый подшипник, работающий без подачи смазки.

2. Площадь области устойчивости, в случае подачи смазки в направлении перпендикулярной оси подшипника, расширяется в сравнении с подачей смазки в осевом направлении.

3. В случае полного заполнения смазкой зазора и учета анизотропии проницаемости пористого слоя подшипник работает более устойчиво, чем при частичном заполнении смазкой зазора и при $\kappa = const$.

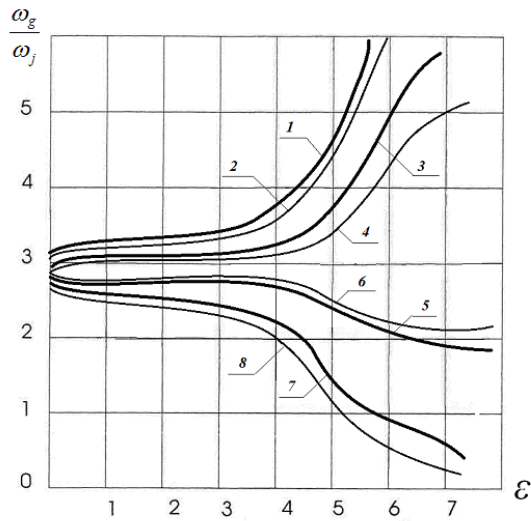


Рис. 3. Схематическое изображение границ области устойчивости.

Подача смазки в направлении оси Oy ($V_g = 0,01$; $\tilde{P}_a = 0,02$; $\varepsilon = 0,5$; $\dot{\varepsilon} = 0$)

- 1 - $\Phi = 0,03$, $\lambda = 0,1$; 2 - $\Phi = 0,03$, $\lambda = 0$;
- 3 - $\Phi = 0,03$, $\lambda = 0,1$ (неполное заполнение смазкой зазора);
- 4 - $\Phi = 0,03$, $\lambda = 0$ (неполное заполнение смазкой зазора);
- 5 - $\Phi = 0,01$, $\lambda = 0,1$; 6 - $\Phi = 0$, $\lambda = 0$;
- 7 - $\Phi = 0,01$, $\lambda = 0,1$ (неполное заполнение смазкой зазора);
- 8 - $\Phi = 0,01$, $\lambda = 0$ (неполное заполнение смазкой зазора).

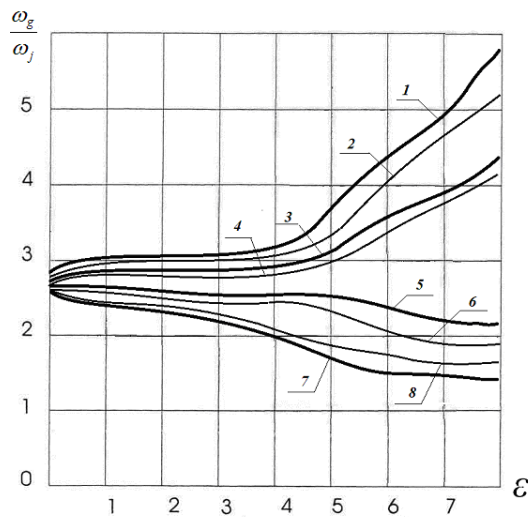


Рис. 4. Схематическое изображение границ области устойчивости

Осевая подача смазки ($\tilde{P}_H = 0,04$; $\tilde{P}_K = 0,03$; $\varepsilon = 0,5$; $\dot{\varepsilon} = 0$)

- 1 - $\Phi = 0,03$, $\lambda = 0,1$; 2 - $\Phi = 0,03$, $\lambda = 0$;

- 3 - $\Phi=0,03$, $\lambda=0,1$ (неполное заполнение смазкой зазора);
4 - $\Phi=0,03$, $\lambda=0$ (неполное заполнение смазкой зазора);
5 - $\Phi=0,01$, $\lambda=0,1$; 6 - $\Phi=0$, $\lambda=0$;
7 - $\Phi=0,01$, $\lambda=0,1$ (неполное заполнение смазкой зазора);
8 - $\Phi=0,01$, $\lambda=0$ (неполное заполнение смазкой зазора).

Литература:

1. **Конри**, Об устойчивости пористых радиальных подшипников. Конструирование и технология машиностроения / Конри, Кузано // Вестник Машиностроения.- 1974. - № 2. - С. 206-216.
2. **Ахвердиев, К.С.**, Об устойчивости двухслойных пористых радиальных подшипников / К.С. Ахвердиев, О.В. Муленко // Вестник РГУПС. - 2002. - № 3. – С. 5-7.
3. **Кузано**, Исследование коэффициента передачи упругой опоры качения в демпфере со сдавливаемой пленкой и пористой обоймой. / Кузано, Р.Е. Франк // Проблемы трения и смазки. - изд-во «Мир». – 1974. - № 1, - С. 54.
4. **Ахвердиев, К.С.** Разработка математической модели гидродинамического расчета конических подшипников. / К.С. Ахвердиев, Б.Е. Копотун // – Вестник РГУПС. - 2005. - № 3. - С 5-9.
5. **Ахвердиев, К.С.** Нестационарная математическая модель гидродинамической смазки сложнонагруженного составного конического подшипника с пористым слоем на его рабочей поверхности с учетом его конструктивной особенности. / К.С. Ахвердиев, С.Ф. Кочетова, М.А. Мукутадзе // - Вестник РГУПС. - 2009 - № 1. – С. 135-143.
6. **Ахвердиев, К.С.** Устойчивость движения шипа в коническом подшипнике с пористым слоем на рабочей поверхности. / К.С. Ахвердиев, Б.Е. Копотун, М.А. Мукутадзе // - Трение и износ. – 2007. – Т. 28. - № 4. – С. 361-366.

7. **Gear C.W.**, Numarical Initial Value Problems in Ordinary Differential Equations / C.W. Gear. - Prentice-Hall, Inc., Englewood Cliffs. - N.J., 1972. – С. 52.

8. **Майба, И.А., Глазунов, Д.В.** Теоретическое обоснование механизма смешанной (полужидкостной) смазки в контакте «твердый оболочечный смазочный стержень-колесо-рельс» [Электронный ресурс] // «Инженерный вестник Дона», 2012 г., №1 – Режим доступа: <http://ivdon.ru/magazine/archive/n1y2012/664> (доступ свободный) – Загл. с экрана. – Яз. рус.

9. **Дерлугян Ф.П., Щербаков И.Н.** Обоснование процесса получения композиционных антифрикционных самосмазывающихся материалов с заданными техническими характеристиками методом химического наноконструирования. [Электронный ресурс] // «Инженерный вестник Дона», 2010 г., №4 – Режим доступа: <http://ivdon.ru/magazine/archive/n4y2010/287> (доступ свободный) – Загл. с экрана. – Яз. рус.

10. Reynolds, O. On the theory of lubrication and its application to Mr. Beauchamp Tower's experiments / O. Reynolds. – Phil. Trans. Roy. Soc. London, 1886, vol. 177, pt. 1.